

金沢工業大学 正員 中川武夫

金沢工業大学 学生員。喜多吉隆

1. 緒言

蛇行系田に関しては長い間にわたり多くの研究者により踏力的な研究が続けられてきたが未だ未知のままである。ところで、蛇行現象は流路境界が砂のような侵食性の材料から成り立っているか否かについては無関係に起こるといふいくつかの興味ある結果が既に報告されている。たとえば、Parker(1975) は氷上、Shepherd & Schumm(1974) は岩盤上、そしてTanner(1960), Gorycki(1973), Nakagawa(1982)及び中川 喜夫(1983)は滑面上の流水蛇行現象をそれぞれ報告している。

傾斜滑面上の流水は重力により駆動され、この流水表面の下部は滑面と接し、上側の残りの部分は空気との境をなしている。流水と滑面との間の接触面に働くせん断力は流水と空気との間の接触面に働くそれよりもずっと大きいので滑面上の流水蛇行が流水と滑面との間の未だ明らかでない干渉機構に支配されていると考えるのが自然であろう。

本実験の目的は滑面上の流水中の流水の可視化、流水断面形状の測定及び流水の蛇行率(流水長/滑斜面長)の測定を通して滑面上の流水蛇行の物理機構を明らかにすることである。

2. 実験装置及び実験方法

Fig.1 に実験装置の概要図を示す。流水がその上を流れる滑面としては、長さ200 cmと幅がそれぞれ100 cmと60 cmの亚克力板を用いた。高水槽から滑面への水の供給は内径10 mmのビニール管を通して行なわれるが、このビニール管の出口端は図示したように滑面上端からその表面中に線に沿って20 cm下の位置に固定されている。滑面の傾斜角は0から90度の範囲をほぼ10度間隔に変化させた。一方、流量に関しては予備実験の結果、各設定滑面傾斜角において流量が一定以上になると流水の蛇行形状の軌跡が不安定に変化する事が明らかとなり、この状況下では流水の断面形状及び蛇行率の測定は困難であるので、滑面上を流れる流量は0から流水の蛇行形状の軌跡が不安定な変化を開始するのに相当する流量までの間を適当な間隔となすように設定した。このように設定された、それぞれ傾斜角と流量の組合せごとに流水の蛇行率の測定が行なわれた。滑面の傾斜角は百分器で測定し、流量はメスシリンダーに

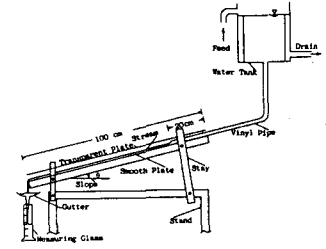


Fig.1: Schematic diagram of the experiment.

1000 cm<sup>3</sup> の水がたまるまでに要する時間をストップ・ウォッチで測定することによりこれを求めた。

滑面上の流水中の流体粒子の挙動が二種類の染料溶液(ローダミンBとメチレンブルー)により可視化された。各染料溶液はビニール管の出口から下流1 cmの流水断面中に左右に並んで滑面に対して垂直に保持された本の実験針(長さ25 mm、外径0.55 mm、内径0.30 mm)先端からそれぞれ滑面付近の流水の中へ流出された。このようにして可視化された流水中の流体粒子の

挙動の写真撮影を行なった。流水の各断面形状は滑面に対して垂直に保持された直径 0.1 mm の細い針を用いて、滑面の最大傾斜線方向と流水の幅方向へそれぞれ 5 mm × 1 mm 間隔で測定された。

3. 実験結果及び考察

Fig.2 は安定な流水蛇行が滑面上に形成されている状況下で、ビニール管の出口直後の流水中の流体粒子の挙動を二種類の染料により可視化した写真である。この写真から明らかになっているのは、流水の中にはせん流が存在していることである。Fig.3 は前述のようにして測定された安定な流水蛇行の滑面上に投影された流水の平面形状及び各断面形状を示す。この図から、流水中心軸の軌跡と各流水断面最深部の位置の軌跡は一致している、後者の軌跡が前者の片方を各流水の断面部斜めに交互に横切っていることがわかる。

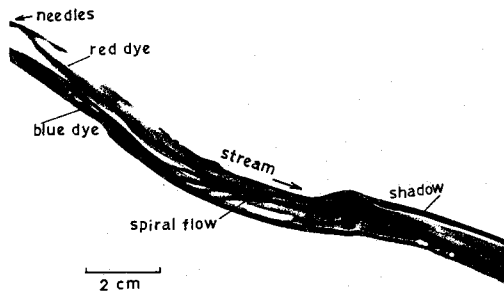


Fig.2: Spiral flow visualized with dyes in a portion of stable meandering stream. Discharge=2.67 cm<sup>3</sup>/s; Surface slope=10.0°.

中川、菅野 (1983) によって、蛇行率がせん断数、レイノルズ数、フルード数及びレイノルズ数に依存していることが明らかにされた。Fig.4 は蛇行率  $\lambda/M$  とせん断数  $S_h$  をそれぞれ縦軸と横軸にプロットしたものである。図の安定領域内において蛇行率はせん断数の増加とともに増加する傾向がある。なお、蛇行率と片の他の各無次元パラメータとの間の関係も

Fig.4 と同様であったことが明らかにされている。

参考文献

Gorycki, M.A.(1973):Bull. Geol. Soc. Am. 84, 175.  
 Nakagawa, T.(1982): Naturwissenschaften, 69,142.  
 Nakagawa, T. & Kita, Y.(1983):Proc. 27th Japanese Conf. on Hydraulics(to be published).  
 Parker, G.(1975): Water Res. Re. 11, 551.  
 Shepherd, R. & Schumm, S.A.(1974): Bull. Geol. Soc. Am. 85, 257.  
 Tanner, W.F.(1960): J. Geophys. Re. 65, 983.

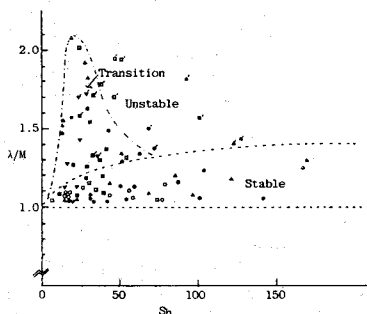


Fig.4: The sinuosity versus the shear number.  
 ○:θ=1.7°, ●:θ=10.0°, △:θ=20.0°, ▲:θ=30.0°, □:θ=40.0°, ■:θ=50.0°, ○:θ=60.0°, ▽:θ=70.0°, ◊:θ=80.0°.  
 Note each of the data with <> denotes unstable meandering stream.

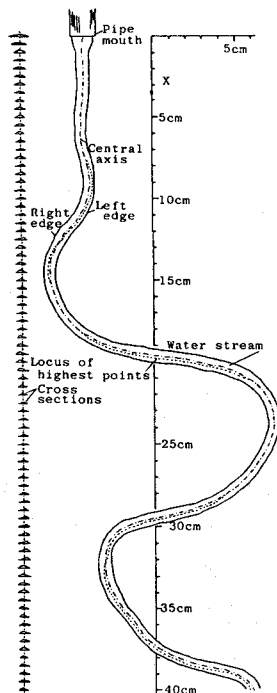


Fig.3: Cross sections of the stable meandering stream and the plan locus of the highest point of the surface. Discharge=1.71 cm<sup>3</sup>/s; Surface slope=10.0°.